

Развитие алгоритма асинхронной дифференциальной эволюции

Е.И. Жабицкая^{1,3}, М.В. Жабицкий²

e-mail: Evgeniya.Zhabitskaya@jinr.ru, ¹ЛИТ ОИЯИ, Дубна

²ЛЯП ОИЯИ, Дубна

³Университет «Дубна», Дубна

Введение

Будем рассматривать задачу поиска глобального минимума $\mathbf{x}^* = \{x_j\}_{j=0, \dots, D-1}$ функции $f(\mathbf{x}): \Omega \subset \mathbb{R}^D \rightarrow \mathbb{R}$:

$$f(\mathbf{x}^*) \leq f(\mathbf{x}) \quad \forall \mathbf{x} \in \Omega \quad (1)$$

Здесь Ω — вещественное пространство поиска решения, возможно с нелинейными ограничениями на допустимые значения параметров. В случае многомодальной функции $f(\mathbf{x})$ глобальный минимум может быть найден при помощи алгоритма дифференциальной эволюции (DE) [1], одного из активно развиваемых в последние годы [2, 3] методов поиска глобального минимума. Отсутствие необходимости вычисления производных позволяет успешно применять этот эволюционный алгоритм для решения негладких задач, в том числе большой размерности.

Предложенный авторами в [4, 5] алгоритм Асинхронной Дифференциальной Эволюции (ADE) обеспечивает, при сохранении основных положительных качеств классической Дифференциальной Эволюции (CDE), более широкие возможности распараллеливания и ускорения вычислений.

Алгоритм асинхронной дифференциальной эволюции

Метод ДЭ оперирует популяцией, каждый член которой является вектором в пространстве параметров: $P_x = \{\mathbf{x}_i\}$, $\mathbf{x}_i \in \Omega \subset \mathbb{R}^D$, $i = 0, 1, \dots, N_p - 1$. Согласно CDE [2] после инициализации начальной популяции, состоящей из N_p векторов, случайно выбранных из Ω , выполняется цикл, на каждом шаге которого ко всем членам текущей популяции применяются операции мутации, кроссовера и отбора для формирования следующего поколения. Смена поколения в CDE происходит синхронно для всех членов популяции. Описанию классической дифференциальной эволюции и ее вариантов посвящены книга [2] и обзор [3].

В новом, предложенном авторами, алгоритме ADE [4] упомянутые операторы мутации, кроссовера и отбора применяются для членов популяции без синхронизации по поколениям (см. схему

на рис. 1). После инициализации в цикле алгоритма на первом этапе выбирается *целевой* вектор \mathbf{x}_i . На этапе мутации для него формируется *мутантный* вектор \mathbf{v}_i путем прибавления к *базовому* вектору \mathbf{x}_r разности случайно выбранных из текущей популяции векторов \mathbf{x}_p и \mathbf{x}_q с весом F . Далее, на этапе кроссовера (рекомбинации) из координат целевого и мутантного векторов строится *пробный* вектор \mathbf{u}_i : с вероятностью C_r в качестве координаты пробного вектора берется координата мутантного вектора, с вероятностью $(1-C_r)$ — целевого. Обычно дополнительно налагается условие, чтобы хотя бы одна координата в пробном векторе отличалась от соответствующей координаты целевого вектора, для чего мутируют его случайную координату j_{rand} . Значение целевой функции в пробной точке сравнивается со значением в целевой точке. В популяции остается тот из векторов, для которого значение целевой функции лучше.

Последовательность этапов выбора целевого вектора, мутации, рекомбинации и отбора повторяется в цикле до тех пор, пока не будет выполнен один из критериев остановки. Таким образом, в алгоритме ADE нет обязательного для CDE перебора всех членов популяции. Целевые вектора, для которых будут осуществляться операции мутации, кроссовера и отбора выбираются из популяции независимо, по одному, что упрощает распараллеливание и открывает возможности

```
//Инициализация популяции  $P_x = \{\mathbf{x}_i\}_{i=0, N_p-1}$ ,  
InitializePopulation(); //  $\mathbf{x}_i = \{x_{i,j}\}_{j=0, D-1}$   
do { // выбор целевого вектора  $\mathbf{x}_i$   
     $i = \text{ChooseTargetVector}()$ ;  
    //Мутация: //  $r \neq p \neq q$  — случайные индексы  
     $\mathbf{v}_i = \mathbf{x}_r + F(\mathbf{x}_p - \mathbf{x}_q)$ ; // мутантный вектор  
    //Кроссовер: //  $u_{i,j}$  — пробный вектор  
    for ( $j = 0$ ;  $j < D$ ;  $j = j + 1$ )  
         $u_{i,j} = \begin{cases} v_{i,j}, & \text{if } \text{rand}(0, 1) \leq C_r, \text{ или } j = j_{\text{rand}} \\ x_{i,j}, & \text{иначе} \end{cases}$   
    //Отбор:  
    if ( $f(\mathbf{u}_i) < f(\mathbf{x}_i)$ )  $\mathbf{x}_i = \mathbf{u}_i$ ;  
} while (пока не выполнен критерий остановки);
```

Рис. 1: Си-схема алгоритма Асинхронной Дифференциальной Эволюции (ADE).

для ускорения вычислений.

Способ выбора очередного целевого вектора является специфической чертой *ADE*. Другими факторами, определяющими конкретную стратегию поиска глобального минимума в рамках *ADE*, являются способ выбора базового вектора, число разностных векторов и тип кроссовера. Для идентификации различных вариантов *ADE* введены обозначения *DE/w/x/y/z*, расширяющие принятую в [2] символику. Здесь *w* соответствует способу выбора целевого вектора: например, это может быть случайный (“rand”) или худший (“worst”) член популяции. Символ *x* “отвечает” за способ выбора базового вектора: это может быть как случайный (“rand”) или лучший (“best”) член популяции, так и другие варианты стратегии. Число разностных векторов, которые добавляются к базовому при формирования мутантного вектора, соответствует *y*. Под *z* закодирован тип кроссовера. Обычно используется бинарное (равномерное) скрещивание (“bin”).

Алгоритм асинхронной дифференциальной эволюции с рестартом

Для решения практических задач алгоритм должен находить решение с вероятностью, близкой к единице. Для ДЭ вероятность сходимости к глобальному минимуму возрастает при увеличении размера популяции N_p . С другой стороны, для больших популяций характерна медленная скорость сходимости (см. рис. 2). Чтобы получить высокую вероятность нахождения глобального минимума, сохраняя приемлемую скорость сходимости, разработан алгоритм *ADE* с рестартом (*ADE-R*) [6, 7].

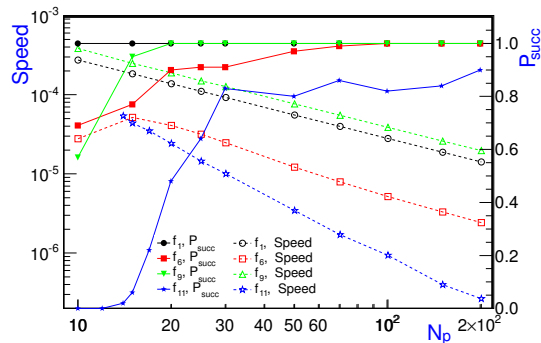


Рис. 2: Скорость сходимости $\text{Speed} = \langle N_{FE}^{-1} \rangle$ и вероятность сходимости P_{succ} для *rand/rand/1/bin* стратегии метода *ADE* для f_1, f_6, f_9 & f_{11} размерности $D = 10$ тестовых функций из CEC2005 [8].

ADE-R стартует с популяции небольшого размера $N_{p,\text{init}}$. В течение итерационного процесса оцениваются разбросы координат членов популяции $\Delta x_j = \max_{i=0,\dots,N_p-1} \{x_{i,j}\} - \min_{i=0,\dots,N_p-1} \{x_{i,j}\}$, и значений целевой функции в популяции $\Delta f = \max_{i=0,\dots,N_p-1} \{f_i\} - \min_{i=0,\dots,N_p-1} \{f_i\}$. При выполнении критериев рестарта

$$\exists j \quad \Delta x_j < \varepsilon_x \max_i \{|x_{i,j}|\}, \quad (2)$$

$$\text{или } \Delta f < \varepsilon_f \max_{i=0,\dots,N_p-1} \{|f_i|\}, \quad (3)$$

алгоритм возобновляет вычисления с увеличенным в k раз размером популяции: $N_p^{\text{new}} = kN_p^{\text{old}}$. Таким образом, осуществляется адаптация размера популяции в соответствии со сложностью решаемой проблемы [6]. Важно заметить, что i) $\varepsilon_x > 10^{-15}$, $\varepsilon_f > 10^{-15}$ — обусловлено машинной точностью вычислений и не зависит от задачи; ii) верхние границы для $\varepsilon_x, \varepsilon_f$ зависят от

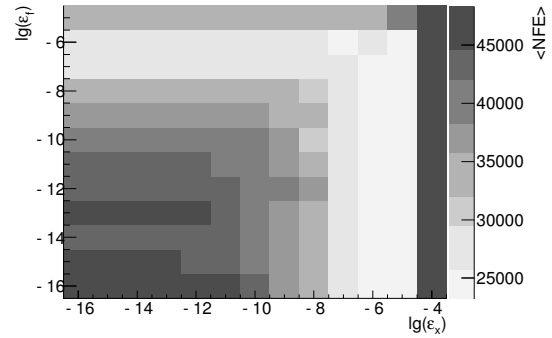


Рис. 3: Среднее количество вычислений функции $\langle N_{FE} \rangle$, необходимое для решения задачи Розенброка f_6 ($D = 10$), как функция ε_x и ε_f . *ADE-R/worst/best/1/bin*-стратегия, $k = 2$, $\hat{P}_{\text{succ}} = N_{\text{succ}}/N_{\text{total}} = 1$.

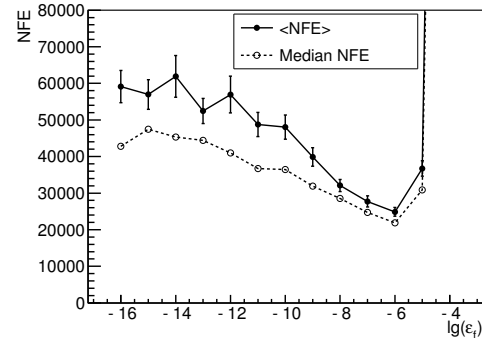


Рис. 4: Среднее количество вычислений функции необходимое для решения задачи Розенброка f_6 ($D = 10$) как функция ε_f (left). без использования критерия Δ_x (3); $k = 2$. (right). *ADE/worst/best/1/bin*-стратегия, $k=2, P_{\text{succ}}=1$

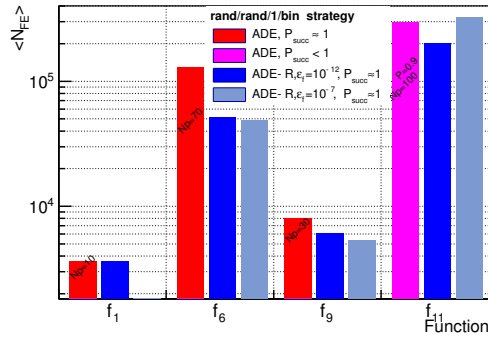


Рис. 5: Скорость сходимости для стратегии *rand/rand/1/bin* для ADE и ADE-R. Для ADE: $N_p = N_p^{opt}$ — зависит от целевой функции; $P_{succ} \simeq 1$ для f_1, f_6, f_9 и $P_{succ} < 1$ для f_{11} . Для ADE-R: $\varepsilon_x = 10^{-12}$, $\varepsilon_f = 10^{-12}, 10^{-7}$; $N_p^{init} = 10$, $P_{succ} \simeq 1 \forall f$.

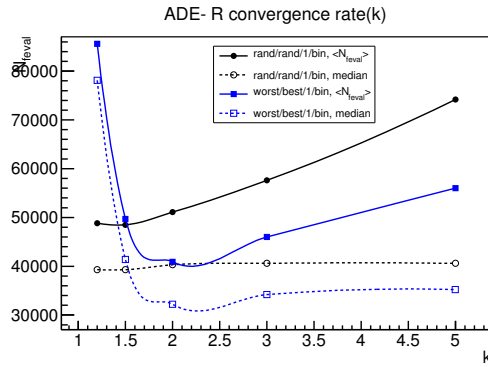


Рис. 6: Зависимость скорости сходимости от мультипликатора популяции k для различных стратегий ADE-R, решающих задачу Розенброка f_6 .

задачи; iii) для задач взвешенного метода наименьших квадратов $\max \varepsilon_f$ может быть оценено *a priori*.

На рисунках 3 и 4 представлены зависимости сходимости для ADE-R/worst/best/1/bin-стратегии как функции применяемых критериев рестарта. Видно, что даже очень маленькие значения ε_x и ε_f , равные значению машинного эпсилон, умноженному на $10^3 \dots 10^4$, гарантируют разумную скорость сходимости.

Сравнение скорости сходимости для стратегии *rand/rand/1/bin* для ADE и ADE-R при двух разных значениях ε_x представлено на рис. 5

Зависимость скорости сходимости от мультипликатора популяции k также обсуждалась в работе [6]. Она представлена на рис. 6. По нашему мнению, разумными значениями для k являются значения $k \in (1.2 \dots 3.0)$, причем для большинства задач $k \in [1.5, 2.0]$ будет наилучшим.

Параллельная реализация ADE

При оптимизации целевых функций, требующих значительных вычислений, выгодно перейти к параллельной реализации алгоритма ADE (рис. 7). Нами реализована параллельная версия программы в стандарте OpenMP [4] и в стандарте передачи сообщений MPI [9, 13, 10] в рамках модели ведущий/ведомый (master/worker). Мастер оптимизации запрашивает пробные вектора из алгоритма и направляет их на расчет на ведомые процессоры. По мере расчета значений целевых функций результаты асинхронно передаются мастером в программу алгоритма. Класс ADE реализован таким образом, что для каждого пробного вектора отслеживается индекс соответствующего целевого вектора. Оператор отбора осуществляет сравнение вычисленного значения функции для пробного вектора с соответствующим значением для вектора текущей популяции с тем же индексом. Таким образом, в алгоритме корректно обрабатывается случай, когда первоначальный целевой вектор был замещен в популяции другим пробным вектором, рассчитанным с помощью более быстрого вычислительного потока. Освободившемуся ведомому процессору сразу же выставляется задание на расчет значения целевой функции следующего пробного вектора, что позволяет полностью и эффективно использовать все имеющиеся вычислительные мощности.

Для типичной оптимизационной задачи была получена модельная зависимость ускорения алгоритма ADE как функция доступного числа процессоров N_{proc} (рис. 8). Благодаря асинхронизации достигнуто лучшее ускорение по сравнению с классической дифференциальной эволюцией [4]. В [9] аналогичные оценки приведены для ADE-R.

В [13] (см. рис. 9) эффективность параллельной MPI-реализации алгоритма ADE тестировалась на LINUX-кластере ЛИТ ОИЯИ. Расчет запускался многократно с одними и теми же границами начальных и допустимых значений варьируемых параметров на разном количестве вычислительных узлов: $N_{proc} \in [2; 128]$. В представ-

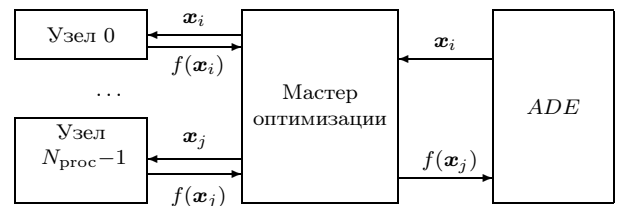


Рис. 7: Схема параллельной реализации алгоритма ADE

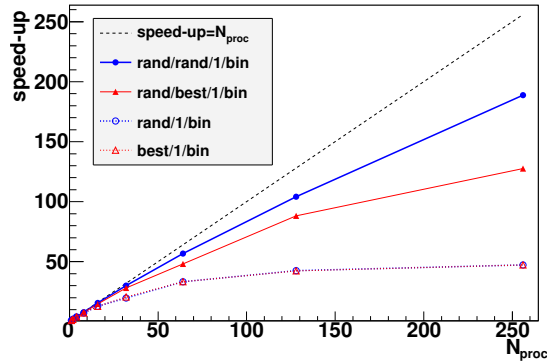


Рис. 8: Ускорение при параллельном расчете *ADE* [4]

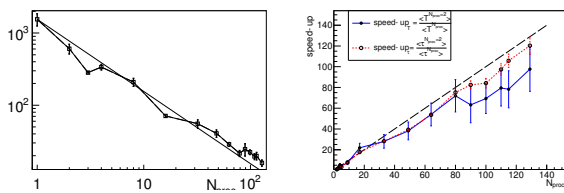


Рис. 9: Среднее время $\langle T \rangle$, затраченное на вычисления (а) и ускорение ($\text{speed-up} = \frac{T^{N_{proc}=2}}{T^{N_{proc}}}$) (б) в зависимости от числа задействованных процессоров N_{proc} .

ленной статистике каждая комбинация запускалась $N = 10$ или 20 раз. На рис. 9 а) видно, что среднее время, реально затраченное на вычисления, падает практически линейно при росте числа задействованных вычислительных узлов. Ускорение вычислений (speed-up) с учетом возрастания необходимого количества вычислений функции при $N_{proc} = 128$ составило 98 ± 21 раз. Рис. 9 б) демонстрирует близкое к линейному ускорение вплоть до $n_{proc} = 128$ параллельно задействованных вычислительных узлов.

Метод *ADE-R* был успешно применен при решении ряда оптимизационных задач, возникающих в реальных физических исследованиях ([11, 12, 13] и др.). Эти задачи сводились к минимизации целевых функций со сложным многомодальным или оврагоподобным рельефом, поэтому их решение классическими методами поиска локального минимума затруднено.

Методы *ADE* и *ADE-R* использовались для определения параметров микроскопического оптического потенциала упругого рассеяния п-мезонов на ядрах [11, 12].

Параллельные алгоритмы *ADE* и *ADE-R* а также *ADE* с адаптивным кроссовером [10] применялись при исследовании структуры однослойных везикул DMPC [13].

Заключение

Предложенный алгоритм прост в применении, имеет малое количество контрольных параметров (N_p , F и C_T), применим для решения задач большой ($D = 10 \dots 100 \dots$) размерности. В *ADE* не используются производные, поэтому с его помощью можно решать недифференцируемые задачи. Алгоритм устойчив при оптимизации многомодальных функций. Асинхронизация ускоряет алгоритм при параллельных вычислениях, при этом сохраняются сравнимые с классической ДЭ вероятность и скорость сходимости [4]. Правильный подбор параметров алгоритма [5] и применение методов, позволяющих при необходимости возобновить вычисления [6, 7], помогают снизить вероятность вырождения и повысить вероятность сходимости к глобальному минимуму.

Список литературы

- [1] K.V. Price, R.M. Storn. // J. of Global Optimization. 1997. V. 11. P. 341.
- [2] K.V. Price, R.M. Storn, J.A. Lampinen. Differential Evolution: A Practical Approach to Global Optimization. Springer-Verlag, Berlin Heidelberg. 2005.
- [3] S. Das, P.N. Suganthan. IEEE Trans. Evol. Comput. 2011. V. 15. P. 4.
- [4] Zhabitskaya, E.I., Zhabitsky, M.V. Lecture Notes in Computer Science, Springer, **7125**, 2012, pp. 328–333.
- [5] Zhabitskaya, E.I. // Lecture Notes in Computer Science, **7125**, 2012, pp. 322–327.
- [6] E. Zhabitskaya, M. Zhabitsky // I. Dimov, I. Farag, and L. Vulkov (Eds.): Fifth Conference on Numerical Analysis and Applications (NAA 2012), // LNCS 8236, pp. 555–561, 2013.
- [7] Жабицкая, Е.И., Жабицкий, М.В. // Труды шестнадцатой научной молодых ученых и специалистов ОИЯИ, ОМУС XVI, 2012, с. 50–53.
- [8] P.N. Suganthan, et al. Problem definitions and evaluation criteria for the CEC05 special session on real-parameter optimization. Technical report, Nanyang Technological University. Singapore. 2005.
- [9] E. I. Zhabitskaya, M. V. Zhabitsky. Математическое моделирование, Т. 24, No. 12, 2012, С. 33–37.
- [10] E. I. Zhabitskaya, M. V. Zhabitsky. Proceeding of the 15th Annual Conference on Genetic and Evolutionary Computation, USA, New York, 2013, pp. 455–462.
- [11] Жабицкая, Е.И., Жабицкий, М.В. // Труды шестнадцатой научной молодых ученых и специалистов ОИЯИ, ОМУС XVI, 2012, с. 46–49.
- [12] Жабицкая, Е.И., Жабицкий, М.В., Земляная, Е.В., Лукьянов, В.К. // Компьютерные Исследования и Моделирование, Т. 4 No 3, 2012, С. 585–595
- [13] E. Zhabitskaya, E. Zemlyanaya, M. Kiselev // MMCP-2013. Book of Abstracts, 2012 с. 189.